

УДК 548 : 537.621

**ОСОБЕННОСТИ ЗОННОЙ СТРУКТУРЫ  
И ПОГЛОЩЕНИЕ В БЛИЗИ КРАЯ  
ФУНДАМЕНТАЛЬНОЙ ПОЛОСЫ  
В ФЕРРОМАГНИТНЫХ ПОЛУПРОВОДНИКАХ**  
**CdCr<sub>2</sub>Se<sub>4</sub> и HgCr<sub>2</sub>Se<sub>4</sub>**

*М. И. Аслендер, Н. Г. Бебенин*

На основе трехзонной модели хромхалькогенидных шпинелей с учетом эффектов  $s$ ,  $p-d$ -обмена полуколичественно объясняются наблюдаемые особенности спектров оптического поглощения CdCr<sub>2</sub>Se<sub>4</sub> и HgCr<sub>2</sub>Se<sub>4</sub> вблизи края фундаментальной полосы и температурная зависимость эффективной массы электронов в HgCr<sub>2</sub>Se<sub>4</sub>. Показано, что параметры  $s-d$ - и  $p-d$ -обмена в этих материалах отрицательны, и определена величина  $A_s$ , обменного интеграла:  $A_s = -0.05$  эВ.

Хромовые халькогенидные шпинели CdCr<sub>2</sub>Se<sub>4</sub> и HgCr<sub>2</sub>Se<sub>4</sub> характеризуются довольно высокими значениями температуры Кюри  $T_c$  (130 и 110 К), имея при  $T < T_c$  высокие для магнитных полупроводников значения подвижности —  $10^2$ — $10^3$  см<sup>2</sup>/В·с. Этим объясняется большой интерес к их изучению в течение последних 20 лет [1]. Однако до сих пор обсуждение экспериментальных данных по оптическим и кинетическим свойствам этих материалов проводится разными авторами с диаметрально противоположных точек зрения. В [2, 3] была рассчитана зонная структура CdCr<sub>2</sub>S<sub>4</sub>, CdCr<sub>2</sub>Se<sub>4</sub> и HgCr<sub>2</sub>Se<sub>4</sub> и показано, что в формировании края фундаментального поглощения участвуют  $p$ -подобная валентная зона,  $s$ -подобная зона проводимости и  $d$ -подобные зоны двух типов — пустые  $p-d$ -зоны и заполненные  $d-e$ -зоны, формирующие магнитные моменты ионов хрома. К аналогичным выводам в рамках метода сильной связи пришли авторы работы [4]. С другой стороны, была построена весьма сложная модель, учитывающая многоэлектронные эффекты корреляции в узких  $d$ -зонах и их гибридизацию с  $s$ - и  $p$ -зонами, но полностью игнорирующая сложную структуру одноэлектронных спектров.

Следует отметить, что с точки зрения приложений важны эффекты в широких  $s$ - и  $p$ -зонах. Материалы, где преобладает проводимость по  $d$ -зонам (например,  $n$ -CdCr<sub>2</sub>S<sub>4</sub>) из-за малой подвижности для полупроводниковой электроники интереса не представляют.

Цель настоящей работы — показать, что наблюдаемые особенности спектров оптического поглощения монокристаллов CdCr<sub>2</sub>Se<sub>4</sub> и HgCr<sub>2</sub>Se<sub>4</sub> вблизи края фундаментальной полосы и данные по температурной зависимости эффективной массы в  $n$ -HgCr<sub>2</sub>Se<sub>4</sub> могут быть поняты на основе одноэлектронного подхода, модифицированного с учетом обменного взаимодействия носителей в  $s$ - и  $p$ -зонах с локализованными моментами магнитных ионов Cr<sup>+3</sup>.

### 1. Формулировка модели зонной структуры

Мы воспользуемся моделью зонной структуры [4, 5], основанной на анализе результатов нерелятивистских зонных расчетов. В этой модели предполагается следующее.

1) Дно низшей  $s$ -подобной зоны проводимости ( $4s\text{Cr}+5s\text{Cd}$ ) и ( $4s\text{Cr}+$   
+ $6s\text{Hg}$ ) находится в точке  $\Gamma$  (симметрия  $\Gamma_1$ ).

2) Потолок валентной зоны (в основном  $4p\text{Se}$ ) также находится в точке  $\Gamma$  (симметрия  $\Gamma_{15}$ ).

3) Вблизи  $s$ -зоны проводимости имеется «пучок» узких зон, образованных антисвязывающими  $p-d\gamma$ -орбитальными —  $A(4p\text{Se}+3d\gamma\text{Cr})$  с симметрией  $\Gamma_{12}$ ,  $\Gamma'_{15}$ ,  $\Gamma'_{25}$ .

Связывающие партнеры —  $B(4p\text{Se}+3d\gamma\text{Cr})$  — находятся глубоко в валентной зоне [2, 3] и далее учитываться не будут.

Предположения (1) и (3) целиком соответствуют результатам [2, 3]. Предположение (2) согласуется с расчетом [2] для  $\text{CdCr}_2\text{Se}_4$ , но противоречит более поздним расчетам [3], в которых вершина валентной зоны оказывается в точке  $\Sigma$ . Однако, поскольку ошибка расчетов в [2, 3] составляет  $\sim 0.2$  эВ, рассчитанные положения зон являются ненадежными (например, различие в значениях энергий в точках  $\Gamma$  и  $\Sigma$  меньше 0.2 эВ). Фактически зонные параметры должны определяться из эксперимента.

В зонных расчетах [2, 3] указывается также положение очень узких  $d\epsilon$ -зон, ответственных за формирование моментов ионов  $\text{Cr}^{+3}$ , что некорректно ввиду определяющей роли многоэлектронных эффектов в этих состояниях. Мы не будем рассматривать их в зонной схеме, постулируя, что  $d\epsilon$ -электроны формируют локальные моменты на узлах Cr, а взаимодействие с носителями тока можно описать в рамках « $c-l$ » ( $s-d$ ) обменной модели [6] с гамильтонианом

$$H^{(1)} = \sum_{lx} I(\mathbf{r} - \mathbf{R}_{lx}) S_{lx} s, \quad (1)$$

где  $I(\mathbf{r})$  — обменный интеграл,  $S_{lx}$  — оператор спина иона в узле  $\mathbf{R}_{lx} = \mathbf{R}_l + \rho_x$  ( $S=3/2$ ),  $\mathbf{r}$  и  $s$  — координаты и спин носителя,  $\rho_x$  — позиция иона  $\text{Cr}^{+3}$  в примитивной ячейке.

Введение гамильтониана (1) предполагает наличие «затравочной зонной структуры», описываемой гамильтонианом  $H^{(0)}$ , вид которого в стандартном базисе  $k\mathbf{p}$ -теории можно найти, например, в [7]. В этом базисе матричные элементы (1) имеют вид

$$H_{nn'}^{(1)}(\mathbf{k}, \mathbf{k}') = \sum_x I_{nn'}^x(\mathbf{k} - \mathbf{k}') S_x(\mathbf{k} - \mathbf{k}'), \quad (2)$$

$$I_{nn'}^x(q) = \frac{1}{\Omega_0} \int d\mathbf{r} I(\mathbf{r} - \rho_x) u_{n0}^+(\mathbf{r}) u_{n'0}^-(\mathbf{r}) \exp(-i\mathbf{q}\mathbf{r}), \quad (3)$$

$$S_x(q) = \frac{\Omega_0}{N} \sum_l S_{lx} \exp(-i\mathbf{q}\mathbf{R}_l), \quad (4)$$

$\Omega_0$  — объем примитивной ячейки.

Рассмотрим  $H^{(1)}$  в приближении среднего поля, которое обычно используется в теории полумагнитных полупроводников [8]

$$H_{nn'}^{(1)}(\mathbf{q}) = \langle S \rangle A_{nn'} \delta(\mathbf{q}), \quad A_{nn'} = \sum_x I_{nn'}^x(0). \quad (5)$$

Сумма по  $x$  в (5) отлична от нуля, только если функции  $u_{n0}$  и  $u_{n'0}$  преобразуются по одному неприводимому представлению группы  $O_h^T$ , откуда следует, что  $c-l$ -обменного смешивания рассматриваемых  $s$ -,  $p$ - и  $p-d\gamma$ -зон в точке  $\Gamma$  в приближении среднего поля нет.

Итак,  $H_{nn'}^{(1)}(\mathbf{k}, \mathbf{k}') \sim \delta(\mathbf{k}-\mathbf{k}')$ , и можно использовать обычную схему метода эффективной массы. Поскольку  $\langle S \rangle$  зависит от температуры, температурно-зависимыми являются все характеристики зонного спектра.

Приближение (5) является удовлетворительным нулевым приближением только для широких  $s$ - и  $p$ -зон. Зоны  $p-d\gamma$ , согласно расчету [2, 3], являются «узкими», так как при  $T=0$  их ширина оказывается приблизительно в три раза меньше обменного расщепления, которое в данном слу-

чае является хундовским и слабо уменьшается при повышении температуры.

Как известно, движение краев широких зон в ферромагнитных полупроводниках начинается уже при  $T > T_c$ , где  $\langle S \rangle = 0$ . Чтобы учесть это в теории, необходимо искать поправки к приближению (5), т. е. принять во внимание флуктуации намагниченности. Для случая широкой запрещенной зоны и простой кристаллической структуры в приближении стандартного закона дисперсии (модель  $\text{EuO}$ ) эта задача была решена в пионерской работе [9]. Для шпинелей (с четырьмя ионами  $\text{Cr}^{+3}$  в примитивной ячейке и наличием близких по энергии зон) последовательный учет флуктуаций наталкивается на значительные трудности. Эти трудности хорошо известны в теории полупроводников и связаны с необходимостью детального знания затравочного спектра и матричных элементов во всей зоне Бриллюэна. Известен также простой способ обойти эти трудности путем замены затравочных значений краев зон на экспериментально наблюдаемые. Ниже будет показано, что этот рецепт оправдан и в случае рассматриваемых материалов.

Рассмотрим подробнее величины  $A_{nn'}$ , используя сведения из [7, 8]. Для зоны  $\Gamma_1$  ( $\Gamma_{6c}$ ) правильные волновые функции нулевого (по спин-орбитальному взаимодействию) приближения суть  $S\alpha$  и  $S\beta$ , поэтому

$$A_{nn'} = A_c S_{zz'}, n = (c, \sigma), \sigma = \pm 1/2, A_c = \left\langle S \left| \sum_x I(\mathbf{r} - \mathbf{q}_x) \right| S \right\rangle, \quad (6)$$

где  $S$  — блоховская функция  $\Gamma_1$ .

С учетом спин-орбитального взаимодействия зона  $\Gamma_{15}$  расщепляется на  $\Gamma_8$  и  $\Gamma_{6v}$ . Величина спин-орбитального расщепления  $\Delta \approx 0.2$  эВ [2], что, как будет показано ниже, больше обменного расщепления, поэтому верхнюю зону  $\Gamma_8$  можно рассматривать отдельно от  $\Gamma_{6v}$ . В базисе Конна—Латтингджа для  $\Gamma_8$  имеем

$$\left. \begin{aligned} A_{nn'} &= \frac{1}{3} A_v J_{mm'}, n = (v, m), m = \pm 3/2, \pm 1/2, \\ A_v &= \left\langle X \left| \sum_x I(\mathbf{r} - \mathbf{r}_x) \right| X \right\rangle. \end{aligned} \right\} \quad (6a)$$

Здесь  $X, Y, Z$  — базисные функции представления  $\Gamma_{15}$ ,  $J_{mm'}$  — матрицы полного момента  $3/2$ .

Используя правила отбора для матричных элементов оператора импульса, легко показать, что кр-взаимодействие не смешивает  $s(\Gamma_1)$  и  $p-d$  ( $\Gamma_{12}, \Gamma_{15}, \Gamma_{25}$ ) зоны, так что «гибридизация» этих зон в точке  $\Gamma$  отсутствует.

Теперь рассмотрим зависимость энергии носителей в  $\Gamma_{6c}$  и  $\Gamma_8$  от  $k$ . Для зоны  $\Gamma_{6c}$

$$\epsilon_{cc}(k) = \epsilon_{cc} + \frac{\hbar^2 k^2}{2m_{cc}}, \quad (7)$$

где  $\epsilon_{cc}$  — положения краев спиновых подзон. Считая, что кр-взаимодействие наиболее сильно связывает зону проводимости с зонами  $\Gamma_8$  и  $\Gamma_{6v}$ , можно ожидать, что изменение эффективной массы с шириной запрещенной зоны описывается известной формулой [7]

$$\left. \begin{aligned} m_c^{-1} &= m_0^{-1} + \frac{2 |P|^2}{\hbar^2} \frac{\left( E_g + \frac{2}{3} \Delta \right)}{E_g(E_g + \Delta)}, \\ P &= - \frac{i\hbar}{m_0} \langle S | p_x | X \rangle, \end{aligned} \right\} \quad (8)$$

где  $m_0$  — масса свободного электрона,  $E_g$  относится к нижней спиновой подзоне. В (8) учтено, что  $|A_v \langle S \rangle| \ll E_g, \Delta$ . Если  $E_g$  меняется сильно, должна наблюдаться существенная температурная зависимость  $m_c$ . Действительно, в  $\text{HgCr}_2\text{Se}_4$  эффективная масса электронов меняется от  $0.3m_0$  до  $0.15m_0$  при изменении температуры от 300 до 4.2 К [10]; ширина запрещенной зоны при этом меняется от 0.8 до 0.3 эВ [11]. Как величины

$m_c$ , так и характер температурных зависимостей  $m_c$  и  $E_g$ , показывают, что во всяком случае при  $T \leq 300$  К в плазменное отражение вносят вклад электроны в одной широкой зоне ( $\Gamma_1$ ). Тогда из (8) получаем

$$\lambda = \frac{m_c^{-1} (4.2 \text{ K}) - m_0^{-1}}{m_c^{-1} (300 \text{ K}) - m_0^{-1}} \approx 2.5,$$

тогда как из данных для  $m_c$  следует  $\lambda = 2.4$ .

Для зоны  $\Gamma_8$  нахождение спектра при произвольных  $\langle S \rangle$  требует решения уравнения четвертого порядка. Упрощение возможно при  $T \ll T_c$ , когда характерная кинетическая энергия дырок много меньше величины  $p-d$ -обменного расщепления  $|A_s \langle S \rangle|$ . Задача о спектре в этой ситуации

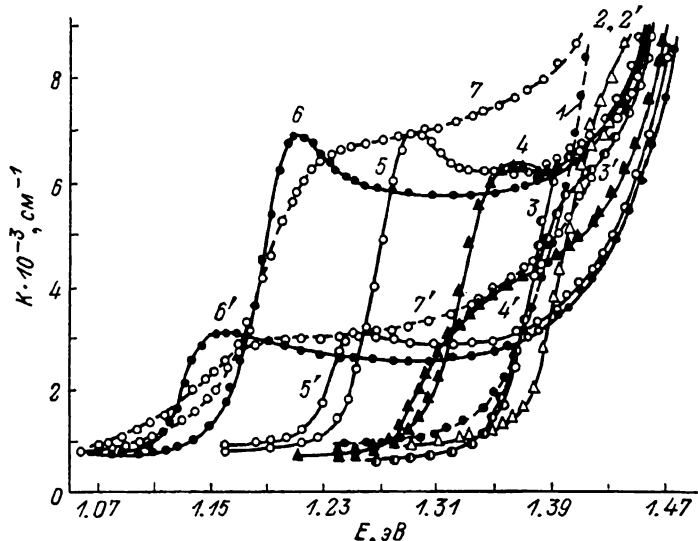


Рис. 1. Зависимости коэффициента поглощения от энергии фотона для неполяризованного (1), право- (2–7) и лево- (2'–7') циркулярно-поляризованного света.

$T, \text{ K}$ : 1 — 293; 2, 2' — 197; 3, 3' — 162; 4, 4' — 135; 5, 5' — 113; 6, 6' и 7, 7' — 16. 1–6, 2'–6' — специально нелегированный  $\text{CdCr}_2\text{Se}_4$ ; 7, 7' —  $\text{CdCr}_2\text{Se}_4$ : 4 % In [12].

для полумагнитных полупроводников была решена в [8] при пренебрежении гофрировкой. В общем случае спектр дырок будет квадратичным, а поверхности постоянной энергии эллипсоидальными,

$$\epsilon_{vm} (\text{K}) = \frac{m}{3} A_s |\langle S \rangle| + \frac{\hbar^2}{2} (M_{h,i}^{-1})_{ij} k_i k_j, \quad (9)$$

$M_{h,i}^{-1}$  — тензоры обратных эффективных масс для тяжелых ( $m = \pm 3/2$ ) и легких ( $m = \pm 1/2$ ) дырок

$$\frac{\hbar^2}{2} (M_{h,i}^{-1})_{ij} = \delta_{ij} (\gamma_1 \pm \gamma_2 \mp 3\gamma_2 n_i^2) \mp 3 (1 - \delta_{ij}) \gamma_3 n_i n_j, \quad (10)$$

$\gamma_1, \gamma_2, \gamma_3$  — параметры Латтингджа;  $n = \langle S \rangle / |\langle S \rangle|$ .

## 2. Интерпретация экспериментальных данных по оптическому поглощению вблизи края фундаментальной полосы

На рис. 1, заимствованном из [12], показана частотная зависимость коэффициента поглощения  $\text{CdCr}_2\text{Se}_4$  при различных температурах. Помимо красного сдвига края поглощения, для представленных кривых характерно, во-первых, то, что при низких температурах поглощение лево-поляризованного света начинается при меньших (приблизительно на 0.05 эВ) энергиях, чем правополяризованного; во-вторых, на краю поглощения имеется характерный пик, исчезающий при легировании.

На рис. 2 представлены частотные зависимости  $(K\hbar\omega)^2$  ( $K$  — коэффициент поглощения), рассчитанные, согласно данным [13], для образца, в котором пик на краю поглощения не наблюдался ( $T=16$  К). Экспериментальные точки прекрасно ложатся на прямые

$$\left. \begin{aligned} (K\hbar\omega)^2 &= B_{\pm}^2 (\hbar\omega - E_g^{\pm}), \\ B_+ &= 2.5 \cdot 10^4 \text{ эВ}^{1/2} \text{ см}^{-1}, E_g^+ = 1.2 \text{ эВ}, \\ B_- &= 1.0 \cdot 10^4 \text{ эВ}^{1/2} \text{ см}^{-1}, E_g^- = 1.15 \text{ эВ}. \end{aligned} \right\} \quad (11)$$

Это доказывает, что переходы, формирующие при  $T < T_c$  край поглощения, являются прямыми разрешенными, как это и должно быть в рассматриваемой нами модели зонной структуры. Величины коэффициентов поглощения также являются типичными для прямых переходов зона—зона [14].

Поскольку переходы идут с изменением  $m$  на  $\pm 1$ , из (9) следует, что

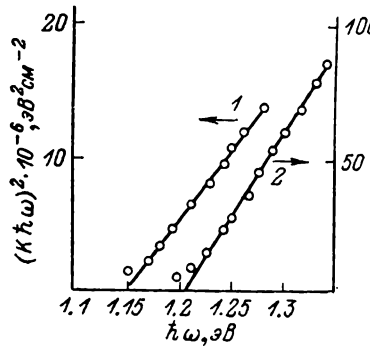


Рис. 2. Зависимость величины  $(K\hbar\omega)^2$  от энергии фотона в  $\text{CdCr}_2\text{Se}_4$ : 4 % In. 1 — левая поляризация, 2 — правая поляризация;  $T = 16$  К.

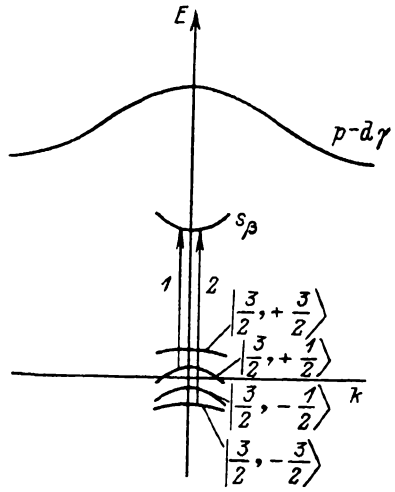


Рис. 3. Схема зонной структуры и оптических переходов, формирующих край поглощения в  $\text{CdCr}_2\text{Se}_4$  и  $\text{HgCr}_2\text{Se}_4$  в ферромагнитной области.

более раннее на 0.05 эВ начало поглощения левополяризованного света означает  $|A_c| = 0.05$  эВ ( $|\langle S \rangle| \approx 3/2$ ).

Конечным состоянием может быть либо одно из  $p-d\gamma$ -состояний, либо  $s$ -состояние со спином  $\uparrow$  ( $\alpha$ ) или  $\downarrow$  ( $\beta$ ). Большая величина красного сдвига говорит о том, что при  $T < T_c$  конечным является  $s$ -состояние  $\Gamma_{6c}$ . Матричные элементы оператора импульса  $p^\pm = (p_x \pm i p_y)/\sqrt{2}$  на волновых функциях  $\Gamma_{6c}$  и  $\Gamma_8$  равны

$$\left. \begin{aligned} \left| \left\langle S_\alpha | p^- | \frac{3}{2}, + \frac{3}{2} \right\rangle \right|^2 &= \left| \left\langle S_\beta | p^+ | \frac{3}{2}, - \frac{3}{2} \right\rangle \right|^2 = \frac{m_0^2 |P|^2}{\hbar^2}, \\ \left| \left\langle S_\alpha | p^+ | \frac{3}{2}, - \frac{1}{2} \right\rangle \right|^2 &= \left| \left\langle S_\beta | p^- | \frac{3}{2}, + \frac{1}{2} \right\rangle \right|^2 = \frac{m_0^2 |P|^2}{3\hbar^2}. \end{aligned} \right\} \quad (12)$$

Из этих равенств следует, что если параметры дырочных эллипсоидов (5) близки, то величины  $B$  для переходов из состояний с  $m = \pm 3/2$  должны быть приблизительно в три раза больше, чем для переходов из состояний с  $m = \pm 1/2$ . Поскольку  $B_+ = 2.5$  В, переходы могут идти только в состояние  $S\beta$ . Таким образом,  $A_c, A_\nu < 0$ , и мы приходим к схеме переходов, изображенной на рис. 3.

Наш анализ поляризационных зависимостей следует в основном [8], однако нам не удалось определить  $A_c$  из-за гигантских величин обменного расщепления в  $\Gamma_{6c}$ .

В [13] было высказано предположение, что пик на краю поглощения связан с возбуждением экситона. Общий вид кривой и величина коэффи-

циента поглощения в области пика, а также его исчезновение в твердом растворе  $\text{CdCr}_2\text{Se}_4$  —  $\text{In}_x$  с ростом  $x$  в самом деле типичны для случая возбуждения экситона при прямых разрешенных переходах [14, 15].

Теперь обратимся к рассмотрению области  $\hbar\omega \geq 1.4$  эВ. Здесь наблюдается уже не красный, а голубой сдвиг во всей области температур, причем последовательность кривых поглощения право- и левополяризованного света обратна той, что наблюдается на краю поглощения. Следовательно, за поглощение в этой области энергий не могут быть ответственны переходы в  $\Gamma_{6c}$ . Поблизости от  $s$ -зоны имеется единственная группа зон, переходы в которую из  $\Gamma_8$  являются разрешенными, — это пучок  $p-d\gamma$ -зон с большой плотностью состояний. Очевидно, резкий рост коэффициента поглощения при  $\hbar\omega \approx 1.4$  эВ вызван переходами из валентной зоны в эти состояния.

При высоких температурах ( $T > 200$  К) рост поглощения начинается вблизи 1.4 эВ, причем край поглощения не имеет богатой структуры, характерной для низких температур. По-видимому, при  $T > 200$  К в  $\text{CdCr}_2\text{Se}_4$  дно  $s$ -зоны находится несколько выше края  $p-d\gamma$ -зон в точке Г. При понижении температуры происходит их пересечение, что приводит к наблюдавшейся в [16] резкой смене голубого сдвига края поглощения красным. Поскольку сдвиг  $p-d\gamma$ -зон продолжает оставаться голубым, пик  $A$  в спектрах термоотражения [18] расщепляется на два. Следует подчеркнуть, что это расщепление не связано с расщеплением  $\Gamma_{6c}$  на спиновые подзоны; при отсутствии магнитного поля последнее возникает только при  $T < T_c$ , что проявляется в резком уменьшении коэффициента поглощения левополяризованного и различии в энергии края поглощения право- и левополяризованного света (рис. 1, кривые 4, 4').

Спектры фундаментального поглощения  $\text{HgCr}_2\text{Se}_4$  [18] схожи со спектрами  $\text{CdCr}_2\text{Se}_2$ . В частности, при  $T \ll T_c$  отношение  $B_+/B_-$  несколько больше трех, а при  $\hbar\omega \approx 0.9$  эВ происходит смена красного сдвига голубым с изменением порядка следования кривых для право- и левополяризованного света. Правда, на краю поглощения  $\text{HgCr}_2\text{Se}_4$  отсутствуют максимумы, но это можно объяснить меньшей энергией связи экситона и существенно более высокой дефектностью нелегированных кристаллов  $\text{HgCr}_2\text{Se}_4$ . Однако при низких температурах на кривых поглощения имеется четко выраженное плато, связанное, по-видимому, с экситонным континуумом [15].

Для  $\text{HgCr}_2\text{Se}_4$  можно оценить  $|P|^2$  с помощью (8), так как  $m_c$  и  $E$ , известны для всех  $T$ . Оказывается, что  $|P|^2 \approx 1.9 \cdot 10^{-39} \text{ г}^2\text{см}^6/\text{с}^4$ .

В парамагнитной области для неполяризованного света коэффициент  $B$ дается формулой [15]

$$B = \frac{2}{3} \frac{2e^2}{nch} \left( \frac{2\mu}{\hbar^2} \right)^{3/2} |P|^2, \quad n = \epsilon_\infty^{1/2}, \quad \left. \begin{array}{l} \\ \mu^{-1} = m_s^{-1} + m_{hh}^{-1} \end{array} \right\} \quad (13)$$

(считается, что переходы идут в основном из зоны тяжелых дырок). Подставляя в (13)  $\epsilon_\infty = 11$ , найденное значение  $|P|^2$  и  $m_c$  ( $T = 110$  К) =  $= 0.18m_0$  и принимая  $m_{hh} = 0.5m_0$ , получаем  $B = 1.4 \cdot 10^4$  эВ $^{1/2}$  см $^{-1}$ . С другой стороны, для  $T = 110$  К экспериментальные точки [18] хорошо ложатся на кривую  $K\hbar\omega = 1.2 \cdot 10^4 (\hbar\omega - 0.6)^{1/2}$  эВ см $^{-1}$ . Удовлетворительное соглашение вычисленного и экспериментального значений  $B$  свидетельствует о разумности рассматриваемой модели зонной структуры.

Температурная зависимость края поглощения в  $\text{HgCr}_2\text{Se}_4$  при  $T > T_c$  является весьма плавной с очень слабо выраженным максимумом при  $T \approx 300$  К. С другой стороны, в  $n$ - $\text{HgCr}_2\text{Se}_4$  (в отличие от  $n$ - $\text{CdCr}_2\text{Se}_4$ ) даже при  $T > T_c$  подвижность превышает  $10 \text{ см}^2/\text{В}\cdot\text{с}$ . Это наводит на мысль о том, что в  $\text{HgCr}_2\text{Se}_4$  пересечения  $s$ - и  $p-d\gamma$ -зон в точке Г, возможно, не происходит; к сожалению, данных по оптическому поглощению [18] недостаточно для однозначного вывода.

Ясно, что существенно меньшая величина красного сдвига в  $\text{CdCr}_2\text{Se}_4$  по сравнению с  $\text{HgCr}_2\text{Se}_4$  может и не означать большой разницы в величи-

нах обменных параметров  $A_c$ . По нашему мнению, различие в величинах красного сдвига есть следствие различий в величинах  $E_u$  и в относительном расположении и  $p-d$ -зон.

Авторы признательны Н. Н. Лошкаревой, Б. А. Гижевскому и Ю. П. Сухорукову за полезное обсуждение настоящей работы.

### Л и т е р а т у р а

- [1] Белов К. П. и др. Магнитные полупроводники — халькогенидные спинели. М.: Изд-во МГУ, 1981. 279 с.
- [2] Kambara T., Oguchi T., Gondaira K. I. J. Phys. C, 1980, vol. 13, N 8, p. 1493—1511.
- [3] Oguchi T., Kambara T., Gondaira K. I. Phys. Rev. B, 1980, vol. 22, N 2, p. 872—879; Oguchi T., Kambara T., Gondaira K. I. Phys. Rev. B, 1981, vol. 24, N 6, p. 3441—3444.
- [4] Веселаго В. Г., Тугушев В. В. Препринт № 227, ИОФ АН СССР, 1984. 48 с.
- [5] Гавриков С. Г., Ерухимов М. Ш., Овчинников С. Г., Эдельман И. С. ЖЭТФ, 1986, т. 90, № 4, с. 1275—1287.
- [6] Нагаев Э. Л. Физика магнитных полупроводников. М.: Наука, 1979. 432 с.
- [7] Бир Г. Л., Пикус Г. Е. Симметрия и деформационные эффекты в полупроводниках. М.: Наука, 1972. 504 с.; Цидильковский И. М. Зонная структура полупроводников. М.: Наука, 1978. 328 с.
- [8] Gaj J. A., Ginter J., Galazka R. R. Phys. St. Sol. (b), 1978, vol. 89, N 2, p. 655—662.
- [9] Rys F., Helman J. C., Baltensperger W. Phys. Kondens. Materie, 1967, vol. 6, N 2, p. 105—125.
- [10] Selmi A., Le Toullec R., Faymonville R. Phys. St. Sol. (b), 1982, vol. 114, N 2, p. K97—K99; Гижевский Б. А., Самохвалов А. А., Костылев В. А., Лошкарева Н. Н. и др. ФТТ, 1984, т. 26, № 9, с. 2647—2650.
- [11] Arai T., Wakaki M., Onari S. et al. J. Phys. Soc. Japan, 1973, vol. 34, N 1, p. 68—73.
- [12] Голик Л. Л., Кунькова З. Э., Аминов Т. Г., Калинников В. Т. ФТТ, 1980, т. 22, № 3, с. 877—880.
- [13] Голик Л. Л., Кунькова З. Э., Паксееев В. Е., Аминов Т. Г., Шабунина Г. Г. ФТТ, 1984, т. 26, № 10, с. 3080—3085.
- [14] Уханов Ю. И. Оптические свойства полупроводников. М.: Наука, 1977. 368 с.
- [15] Джонсон Е. В кн.: Оптические свойства полупроводников. М.: Мир, 1970, с. 166—277.
- [16] Lehmann H. W., Harbecke G. J. Appl. Phys., 1967, vol. 38, N 3, p. 946—953.
- [17] Stoyanov S. G., Iliev M. N., Stoyanova S. P. Phys. St. Sol. (a), 1975, vol. 30, N 1, p. 133—140.
- [18] Кунькова З. Э., Голик Л. Л., Паксееев В. Е. ФТТ, 1983, т. 25, № 6, с. 1877—1879.

Институт физики  
металлов УрО АН СССР  
Свердловск

Поступило в Редакцию  
12 января 1987 г.  
В окончательной редакции  
10 июля 1987 г.